

Формирование резонанса Фано в микрополосковой СВЧ структуре

A.P. Насыбуллин, Т.О. Вазиев, О.Г. Морозов

Казанский Национальный Исследовательский Технический Университет им. А.Н. Туполева (КНИТУ-КАИ им. А.Н. Туполева), Казань

Аннотация: В статье представлены результаты моделирования микрополосковой СВЧ структуры кольцевой конфигурации, которая по аналогии с волоконно-оптическим прототипом, воплощает принцип образования резонанса Фано. Подобный тип резонанса характеризуется асимметрией формы и обладает более узким резонансом по сравнению с классическими гауссовской и лоренцовской формами.

Ключевые слова: кольцевой резонатор, брэгговское отражение, резонанс Фано, фазовый сдвиг.

В оптическом диапазоне проводились исследования по получению высокодобротной резонансной характеристики с применением кольцевого резонатора и волоконно-оптической решетки Брэгга (ВРБ) с фазовым π -сдвигом. Кольцевой ВРБ резонатор с фазовым π -сдвигом показан на рис. 1.

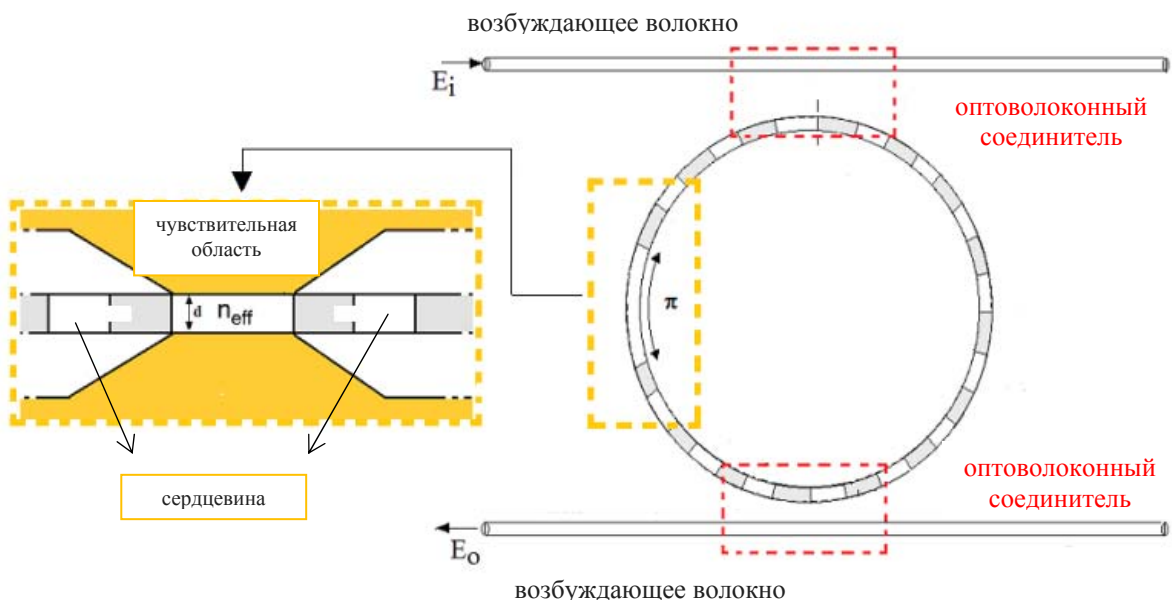


Рис. 1. – Кольцевой ВРБ резонатор с фазовым π -сдвигом

Он физически состоит из одной брэгговской решетки замкнутой саму на себя через дополнительный виток оптического волокна, который вводит фазовую задержку (Φ) для каждой встречной волны, генерируемой внутри

кольцевой структуры [1,2]. Эта фазовая задержка может быть выражена как:

$$\Phi = \frac{\pi}{2} \frac{\lambda_B - 2\pi n_{eff}(d) \Delta_B}{\lambda} \frac{\Delta_B}{2}$$

где $n_{eff}(d)$ является эффективным показателем преломления оптической моды, распространяющейся через дефект длиной $\Delta_B/2$ в дефектной области, называемой π -сдвигом.

Спектральный отклик структуры Т, может быть выражен общим аналитическим выражением в замкнутой форме:

$$T = \left| \frac{t_2}{t_1} \right|^2 = \left| \frac{1}{2} \left[\frac{k^2 a (t^2 e^{j\Phi} + r(t^2 - (r^2 + 1)))}{(r^2 + 1) - r^2 a^2 (t^2 e^{j\Phi} + r(t^2 - (r^2 + 1)))} + \frac{k^2 a (t^2 e^{j\Phi} - r(t^2 - (r^2 + 1)))}{(r^2 + 1) - r^2 a^2 (t^2 e^{j\Phi} - r(t^2 - (r^2 + 1)))} \right] \right|^2 \quad (1)$$

где t и k – доли оптических амплитуд передаваемых через ответители 1 и 2 соответственно, t и r – амплитуды электрического поля, передаваемые отраженные ВБР соответственно, задаются:

$$t = \frac{\theta}{\theta \cos h(\theta \ell) + j \Delta \beta \sin h(\theta \ell)}; \quad r = \frac{jK}{\theta \cos h(\theta \ell) + j \Delta \beta \sin h(\theta \ell)}$$

где $|t|^2 + |r|^2 = 1$, в идеальном случае, ВБР без потерь. ℓ – половина длины ВБР, а θ , K и $\Delta \beta$ могут быть выражены как [3]:

$$\theta = [|k|^2 - (\Delta \beta)^2]^{\frac{1}{2}}; \quad K = \frac{\pi |\Delta n|}{\lambda_B}; \quad \Delta \beta = 2\pi n_{eff} \left(\frac{\lambda_B - \lambda}{\lambda \lambda_B} \right)$$

с n_{eff} – эффективный показатель преломления волокна, $|\Delta n|$ и λ_B – глубина модуляции показателя решетки и длина волны Брэгга

(т. е. $\lambda_s = 2n_{eff}A_s$, с A – периодом ВБР) соответственно. В уравнении (1), a – коэффициент затухания равный $\exp(-a\ell)$, где a потери на распространение в волокне на единицу длины, $a\ell$ – половина длины пути геометрической полости (т. е. половина длины ВБР).

Получаемая высокодобротная резонансная характеристика получила название резонанс Фано, который в свою очередь можно рассматривать как интерференцию двух волн. Первая пропорциональна $A e^{i\delta_A} (\varepsilon + i)^{-1}$ (функция Лоренца), а вторая – как $B e^{i\delta_B}$. Здесь A , B и $\delta_{A,B}$ – вещественные функции с относительными изменениями в интересующем частотном диапазоне. Из-за интерференции полученную интенсивность волны можно записать в виде:

$$I(\omega) = \left(\frac{(q+1)^2}{1+q^2} \eta + (1 - \eta) \right) B^2$$

где q – параметр асимметрии Фано, $\Omega = (\omega - \omega_0)/(\Gamma/2)$ – безразмерная частота, ω_0 – центральная частота, Γ – ширина узкой полосы.

$$\eta = \frac{2F \cos^2 \delta}{F + 2 \sin \delta + \sqrt{F^2 + 4F \sin \delta + 4}}$$

где $F = A / B$ и $\delta = \delta_A - \delta_B$ – относительная интенсивность и разность фаз соответственно.

Интересующим нас параметром Фано является:

$$q = \cos \delta F / n \quad (2)$$

Уравнение (2) показывает, что в зависимости от знака и значения q , спектра Фано имеет 4 характерные формы. Для специальных значений q узкая полоса симметрична ($q = 0$ and $q > \pm \infty$), а в общем случае, когда

$-\infty < q < 0$ или $q < +\infty$, узкая полоса имеет ассиметричный профиль, меняя свою форму зеркально, с изменением знака q [2].

Микрополосковая брэгговская структура обладает аналогичными свойствами как оптическая ВБР, с этой целью проведена попытка реализовать аналогичную схему в СВЧ диапазоне. Использовался микрополосковый кольцевой резонатор на несимметричной полосковой линии, рассчитанный на частоту 1 ГГц. Далее в кольцевую линию были введены неоднородности в виде расширения ширины полоскового проводника (рис. 2) [4,5].

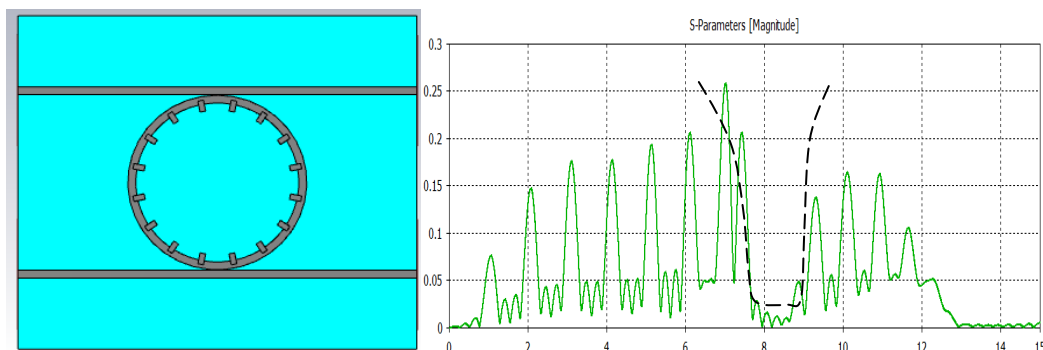


Рис. 2. – Общий вид и характеристика микрополоскового кольцевого резонатора с брэгговской структурой

Анализируя представленные характеристики резонатора можно наблюдать смещения резонансов кольцевого резонатора в полосе заграждения брэгговской структуры (показана пунктиром).

Введя в брэгговскую структуру фазовый сдвиг (рис.3) можно наблюдать возникновение ассиметричного резонанса Фано в центре полосы заграждения борэгговской структуры [6,7].

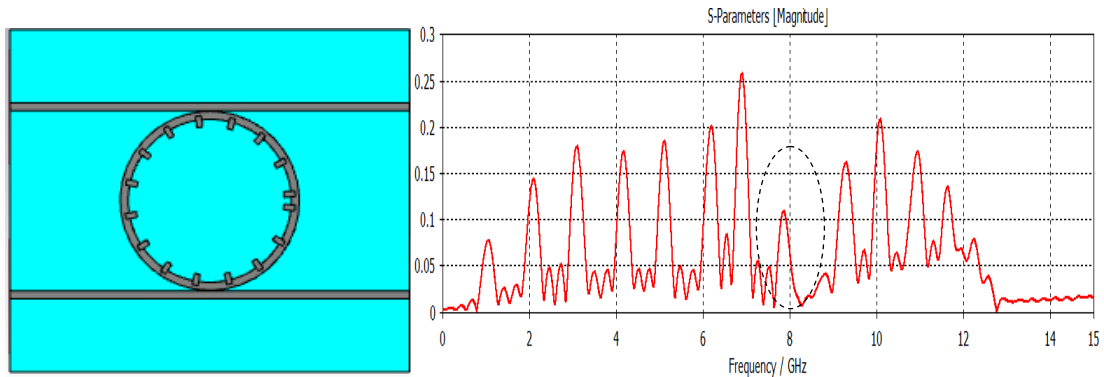


Рис. 3.– Общий вид и характеристика микрополоскового кольцевого резонатора с брэгговской структурой с фазовым сдвигом

Низкий уровень резонанса Фано и небольшая добротность объясняется малыми значениями направленности ответвителей на связанных микрополосковых линиях по сравнению с оптическими каплерами.

Работа выполнена при финансовой поддержке Министерства образования и науки Российской Федерации, в рамках базовой части Государственного Задания 8.6872.2017/8.9.

Литература

1. Campanella C.E., Leonardi F., Mastronardi L., Malara P., Gagliardi G., Passaro M.N. Investigation of refractive index sensing based on Fano resonance in fiber Bragg grating ring resonators // OPTICS EXPRESS . - 2015. - №11, pp.14301-14313.
2. Rybin V., Kapitanova V., Filonov S., Filonov P., Belov A., Kivshar S., Limonov F. Fano resonances in antennas: General control over radiation patterns // [physics.optics]. - 2013. - №1.Vol. 88, Iss. 20.
3. Медведков О.И., Королев И.Г., Васильев С.А. Запись волоконных брэгговских решеток в схеме с интерферометром Ллойда и моделирование их спектральных свойств. - М.: НЦВО ИОФ, 2004- 46 с.



4. Насыбуллин А.Р. Пассивные оптические и коаксиальные СВЧ-структуры с периодическими неоднородностями: трансфер сенсорных технологий // Инженерный вестник Дона. 2016. №3 URL: ivdon.ru/ru/magazine/archive/n3y2016/3761

5. Насыбуллин А.Р. Преобразовательные элементы на основе полосковых брэгговских структур для СВЧ датчиков параметров технологических процессов // Научно-технический вестник Поволжья. 2016. №3. С. 129-131.

6. Насыбуллин А.Р. Активные оптические и СВЧ-элементы с периодическими структурами, расположенными в ближней зоне излучения: трансфер сенсорных технологий // Инженерный вестник Дона. 2016. №3 URL: ivdon.ru/ru/magazine/archive/n3y2016/3751

7. О.Г. Морозов, А.Р. Насыбуллин Свойства сложно-периодических неоднородных систем в радиочастотных и оптических направляющих структурах // Физика волновых процессов и радиотехнические системы. 2015. №3(18). С. 20-22.

8. Васильев С.А., Медведков О. И., Королев И.Г., Божков А.С., Курков А.С., Дианов Е.М. Волоконные решетки показателя преломления и их применения. Квантовая электроника, 2005, т.35, №12, С. 1085-1103.

9. Вазиев, Т.О. Фазовый анализ степени нагруженности резонатора //XIII Международная научно-техническая конференция, Материалы конференции, 2015, С. 101-103.

10. Вазиев, Т.О. Влияние коэффициента связи и внешней нагрузки резонатора на фазовый сдвиг проходящего через него сигнала (высокочастотный анализ) // Международная научно-практическая конференция «Новая наука: стратегии и векторы развития», 2016, С. 94-102.



References

1. Campanella C.E., Leonardis F., Mastronardi L., Malara P., Gagliardi G., Passaro M.N. Investigation of refractive index sensing based on Fano resonance in fiber Bragg grating ring resonators. *OPTICS EXPRESS*.2015.№11. pp.14301-14313.
2. Rybin V., Kapitanova V., Filonov S., Filonov P., Belov A., Kivshar S., Limonov F. Fano resonances in antennas: General control over radiation patterns [physics.optics]. 2013. №1.Vol. 88, Iss. 20.
3. Medvedkov O.I., Korolev I.G., Vasil'ev S.A. Zapis' volokonnyh brjeggovskih reshetok v sheme s interferometrom Llojda i modelirovanie ih spektral'nyh svojstv [Recording of fiber Bragg gratings in the scheme with Lloyd's interferometer and modeling of their spectral properties]. M.: NCVO IOF, 2004, 46 p.
4. Nasybullin A.R. Inženernyj vestnik Dona (Rus). 2016. №3. URL: ivdon.ru/ru/magazine/archive/n3y2016/3761
5. Nasybullin A.R. Nauchno-tehnicheskij vestnik Povolzh'ja. 2016. №3. pp. 129-131.
6. Nasybullin A.R. Inženernyj vestnik Dona (Rus). 2016. №3. URL: ivdon.ru/ru/magazine/archive/n3y2016/3751
7. O.G. Morozov, A.R. Nasybullin Fizika volnovyh processov I radiotekhnicheskie sistemy. 2015. №3 (18). pp. 20-22.
8. Vasil'ev S.A., Medvedkov O. I., Korolev I.G., Bozhkov A.S., Kurkov A.S., Dianov E.M. Kvantovaja elektronika, 2005, t.35, №12, pp. 1085-1103.
9. Vaziev, T.O. XIII Mezhdunarodnaja nauchno-tehnicheskaja konferencija, Materialy konferencii [XIII International Scientific and Technical Conference], 2015, pp. 101-103.
10. Vaziev, T.O. Mezhdunarodnaja nauchno-prakticheskaja konferencija «Novajanauka: strategii I vektory razvitiya», 2016, pp. 94-102.